

京都大学 防災研究所 正員 柴田 徹  
東京大学 生産技術研究所 正員 プラダン テージ B.S.  
佐藤工業株式会社 ○正員 大山 和弘

## 1. 概要

異方性地盤に対する主応力方向の回転とともに、たとえ単純せん断変形をシミュレートするためには、中空ねじりせん断試験機を試作した。この試験機を用い、異方性をもつて推定される飽和砂供試体に対して、主応力方向の回転が、その変形・強度特性に及ぼす影響を調べた。

2. 試料および実験方法： 使用した試料は農業標準試験用の物性は、 $G_s = 2.65$ ,  $e_{max} = 0.98$ ,  $e_{min} = 0.61$ ,

D<sub>50</sub>=0.23 である。Fig. 1 に、試作した中空ねじりせん断試験機の構造を示す。キャップで固定し、ペデスタルでモーターで回転させることにより、供試体下端よりトルフを加える形である。軸荷重はベロフランシングダーニーにより、載荷した。内圧はキャップに取り付けられたゴム袋を外圧系と連結させるこにより、載荷してから外圧と内圧は等しく、これはまた中间主応力(π<sub>z</sub>)に等しい。トルフはトルフ伝達ロッドの中央部にひずみゲージを貼り付けるこにより、間接的に計測した。供試体は内径 6 cm、外径 10 cm、高さ 20 cm の中空円筒形である。供試体の作成にあたる異方性供試体を作成する目的の多種ふろい落下装置を用いた。三浦らは、各種供試体作成法に対する等方圧密試験を行ない、体積ひずみと 3 倍の軸ひずみの関係を調べた。その結果、多種ふろい落下法によると、作成した供試体について、ε<sub>v</sub> > 3 ε<sub>0</sub>なる水平堆積面でも、た異方性が顕著に表われることは示されている。また、多種ふろい落下装置を用いるこにより、供試体の間隙比を比較的一律に調整することができる(ε<sub>v</sub> = 0.8)。飽和度を高めるために、供試体に二酸化炭素を循環させた後、脱気水を循環させた。この結果、飽和度 95% 以上の人供試体を得ることができた。実験は、せん断中に最大主応力方向が船直となり角度αによって、次の 3 シリーズを実施した。すなはち、① α = 一定、② α = 0° から増加、③ α = 45° から減少の各試験である。各シリーズの内容を Table 1 に示す。すべての実験は、バックプレッシャー 2 kN/cm<sup>2</sup> のもとで有効拘束圧 2 kN/cm<sup>2</sup> を圧密後、排水条件をねじりせん断を行なう。また、載荷は、せん断中に人が所定の条件を満足するように、トルフの増大とともに軸圧と側圧を等量づつ増減させる。

Fig. 1 中空ねじりせん断試験機の構造図

Fig. 1 中空ねりせん断試験柱の構造図

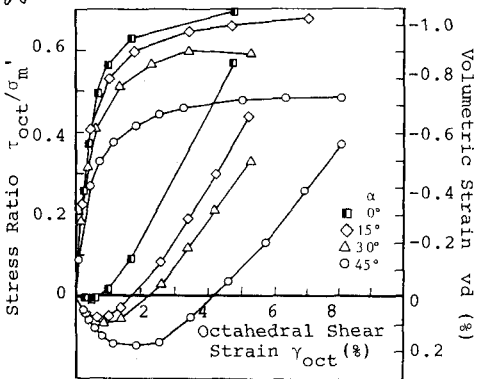


Fig. 2 応力比～ひずみ、体積変化～ひずみ曲線(シーザ①)

### 3. 実験結果と考察：応力比

Table 1. 実験の内容

～ひすみ、並びにダイレクンシー関係をFig. 2～Fig. 4に示す。

Fig. 2はシリーズ①、Fig. 3はシリーズ②、Fig. 4はシリーズ③に関するものである。シリーズ①のFig. 2にすれば最大主応力方向が鉛直に近いものほど破壊時の応力比( $M_f = (\sigma_{oct}/\sigma_m)_f$ )が大きいことが分かる。この原因として次の2つが考えられる。  
1)初期構造の異方性の影響、2)破壊時の中间主応力のパラメータ $b_f$ の違い。2)の $b_f$ の違いを考えたのは、本試験条件下において $\alpha$ と $b$ 値との間に。

$$b = \frac{\tan^2 \alpha}{1 + \tan^2 \alpha} \quad (1)$$

以上の関係が成立しないところもしくは、(1)式によれば $\alpha$ が小さくなるほど $b$ 値も小さくなる。多くの破壊規準が $b_f$ が小さいほうで $M_f$ は大きいことを指し示すところを考慮合せれば、シリーズ①の $M_f$ の違いは、単に $b_f$ の違いによるものと考えられる。 $b_f$ が小さい試験ほど $M_f$ が大きいという傾向はFig. 3(シリーズ②)、Fig. 4(シリーズ③)についても見られる。全試験について、正八面体面上に投影された応力経路をFig. 5に示す。同図によると、破壊時並びに最大体積圧縮時の応力実 $(\sigma/\sigma_m)$ マストレイン $\epsilon$ 、二軸らしき図中に示されたMohr-Coulomb規準に従うことが分かる。特に $\alpha = 15^\circ$ 、 $\alpha = 0^\circ \rightarrow 15^\circ$ 、 $\alpha = 45^\circ \rightarrow 15^\circ$ の三者に注目してみると、 $M_f$ がほぼ一致してFig. 4応力比～ひすみ、体積変化～ひすみ曲線(シリーズ③)

から分かる。これは応力経路並びに主応力方向の回転が破壊に何影響を及ぼさないことを意味する。次にダイレクンシー特性について述べる。Fig. 5より最大体積圧縮時の応力比( $M_m = (\sigma_{oct}/\sigma_m)_m$ )もまた応力経路並びに主応力方向の回転に依らず一義的にMohr-Coulomb規準に従うことが分かる。Fig. 2～Fig. 4より最大体積圧縮量( $Vd_{max}$ )を比較すると、いずれのシリーズについても最大体積圧縮時の最大主応力方向が水平に近い試験ほど $Vd_{max}$ が大きい。この原因についてはもやはり次の2つがあげられる。  
1)初期構造の異方性の影響、2)最大体積圧縮時の $b$ 値( $b_m$ )の違い。 $\alpha = 32^\circ$ 、山田らは立方三軸試験柱を用いて砂と粘土に対する放射状せん断試験を行ない、 $b_m$ の違いが $Vd_{max}$ に及ぼす影響が小さいことを示している。従って最大主応力方向が水平に近いほど $Vd_{max}$ が大きい傾向は、初期構造の異方性の効果によるものと考えられる。すな $\alpha = 15^\circ$ 、 $\alpha = 0^\circ \rightarrow 15^\circ$ 、 $\alpha = 45^\circ \rightarrow 15^\circ$ の三者に注目してみると、 $\alpha = 45^\circ \rightarrow 15^\circ$ の $Vd_{max}$ が非常に大きいことが分かる。これはせん断初期に最大主応力方向が水平堆積面に近い。

すなわち、異方性供試体の場合、主応力方向並びに $\alpha$ の回転は、最大体積圧縮量( $Vd_{max}$ )に影響を及ぼす。

参考文献：1) Miura, S and Toki, S (1982): Soils and Foundations, Vol. 22, No. 1, pp. 61-77 2) Molenkamp, F and Luger, H.J. (1981): Geotechnique, Vol. 31, No. 4, pp. 471-488 3) Yamada, Y and Ishihara, K (1979): Soils and Foundations, Vol. 19, No. 2, pp. 79-94

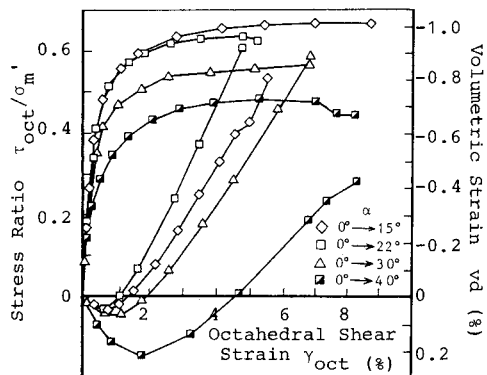


Fig. 3 応力比～ひすみ、体積変化～ひすみ曲線(シリーズ②)

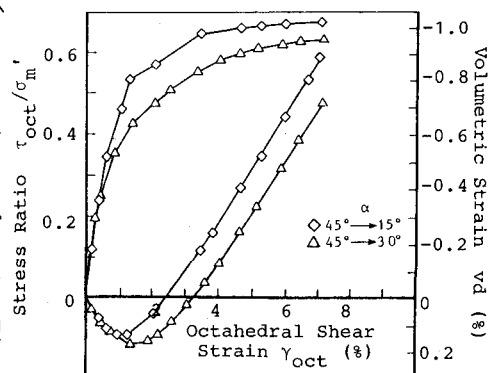


Fig. 4 応力比～ひすみ、体積変化～ひすみ曲線(シリーズ③)

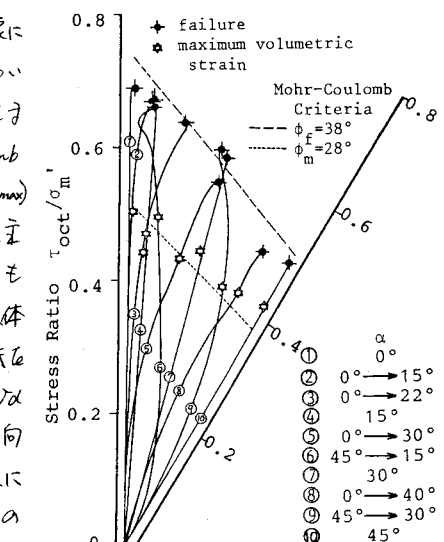


Fig. 5 正八面体面上に投影された応力経路